

# 原子荧光测汞法

湖南省环境监测中心印

# 原子荧光测汞法

杜文虎

(西北大学化学系)

汞是自然界中分布较广的元素之一，特别是在金属矿床上层的土壤和空气中含量较高，几乎在所有矿物中均含有汞。所以，测定大气中的汞已用来探测地下矿产<sup>[1]</sup>。

汞出现在人类生活中，历史很久。现代已成为许多工业及科学实验中不可缺少的物质。由于人们的生产活动，破坏了汞的自然平衡，使环境中的汞超过了本底含量<sup>[2]</sup>，而使环境遭到污染。

近来，汞对环境的污染受到重视，它对农作物、水生动物和人们的健康有着很大的威胁。据说<sup>[2]</sup>人暴露在空气中含汞1.2~8.5毫克/立方米的环境中，可引起急性汞中毒；每日吸入0.4~1.0毫克的汞蒸气，连续一个月也可发生中毒。在含汞0.06~0.72毫克/立方米的空气中劳动，日久可发生慢性汞中毒。因而开展对环境中汞的测定和治理是一项重要的工作。要弄清汞对环境的污染，必须寻求一种简便、快速、高灵敏度的检测方法。目前，在国内外，各种型式的原子吸收测汞仪已层出不穷，特别是我国生产的590型和

川汞仪，在环境污染检测方面已发挥了一定的

随着原子荧光分析技术的成熟，山林山、李原子荧光测汞法，进行了多种试验，证明该法具有较多的优点。

原子荧光光谱法于1964年用于分析领域<sup>[3]</sup>。当时，以火焰法进行了汞的测试，检出极限为0.5 ppm。在1969年以前，大多采用火焰原子化器和色散装置<sup>[4-7]</sup>，检出极限在0.1 ppm。

水平。1970年提出了非色散型火焰原子荧光测汞装置<sup>[8,9]</sup>，灵敏度可达0.00025 ppm。以后又相继提出了电加热的无火焰原子荧光测汞法：如石墨炉法<sup>[10]</sup>，石墨丝法<sup>[11]</sup>、铂环法<sup>[12]</sup>和铂坩埚法<sup>[13]</sup>等。这些方法中汞的最低检出极限为 $5 \times 10^{-11}$ 克。

利用金属汞在常温下可气化的特性，还汞气化法也用于原子荧光测汞法中<sup>[14-17]</sup>。特别是非色散型装置配合，更具特色<sup>[18-20]</sup>。这样，仪器更加简单，操作方便迅速，检出极限可达0.01 ppb。最近有人提出用无火焰原子荧光法测汞检出极限可达5 ppt<sup>[39]</sup>。所以，原子荧光法是测定痕量汞的有力工具。

本文的目的在于小结原子荧光测汞法的现状，企图寻求一些发展和完善这一方法的途径。

## 一、几个基本问题

原子荧光法的原理已有许多论述<sup>[21-25]</sup>。这里，仅讨论与原子荧光测汞法有关的几个问题。

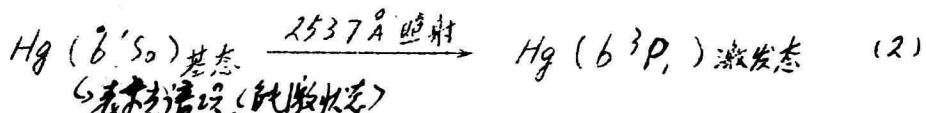
### 1. 原子荧光的产生

当自由汞原子（基态）受到汞的共振频率的光线（2537 Å）照射后，基态汞原子将接受光能（E）而跃迁至激发态，根据光学原理

$$E = h\nu \quad (1)$$

式中：h —— 卢朗克常数； ν —— 光的频率。

对汞来说，



处于激发态的汞原子很不稳定，在很短时间内（ $10^{-7}$ 秒）<sup>[26]</sup>就会放出能量而回到基态。这一过程称为“去激发过程”。去激发过程中的能量转换分为两种情况：一种是能量以光的形式辐射出来，即所谓“原子荧光”，称为辐射去激发过程；另一种是

由于原子气氛中的无关质点与激发态原子碰撞，将能量传给这些无关质点而无光辐射产生，即所谓“萤光猝灭”，称为“无辐射去激发过程”。受 $2537\text{ \AA}$ 射线激发产生的萤光波长也是 $2537\text{ \AA}$ ，这种激发光波长与萤光波长相同时的萤光称为“共振萤光”，也是最强的萤光。汞在紫外波长紫外光区也有较强的萤光（比 $2537\text{ \AA}$ 强数十倍），但由于空气吸收，故不常采用。由此可见，汞萤光谱非常简单，因而灵敏度的差别干扰极小，且为简化仪型提供方便（非色散型仪）。

## 2. 萤光强度与原子蒸气浓度的关系

在原子萤光测汞法中，当汞原子蒸气浓度很小时，萤光强度( $I_F$ )与汞原子蒸气浓度( $N_0$ )有如下关系<sup>[24, 25]</sup>：

$$I_F = \phi I_0 K_V N_0 \quad (3)$$

式中： $\phi$  — 萤光的量子效率；

$I_0$  — 激发光的强度；

$K_V$  — 共振频率的积分或然率因子。

由(3)式看出：光强度愈大萤光愈强，在一定实验条件下， $\phi$ 、 $K_V$ 、 $I_0$ 均为常数，故

$$I_F = K N_0 \quad (4)$$

即原子萤光强度与原子蒸气浓度成正比。在原子萤光法中，工作曲线的线性范围内原子浓度范围常包括几个数量级，对汞来说约为 $10^{-10} \sim 10^{-7}$ 克。因此，在测定高浓度和低浓度时可用同一工作曲线。

原子萤光测汞法中，原子化方法可分为三种类型，即火焰液体质样）、无火焰电加热法（液体或固体试样）和还原汽化法（液体、试样）。前两种方法几乎可将试样中全汞转化为气态汞子（火焰法中指喷入火焰中的试样）。后一种方法中，当温度、液相和气相体积固定时，液相和气相中的汞原子比例是固定的<sup>[27]</sup>，所以萤光强度亦正比于溶液中汞的浓度<sup>[20]</sup>。在还原汽化法中汽化的汞约为40% ( $210^\circ\text{C}$ )<sup>[27]</sup>。

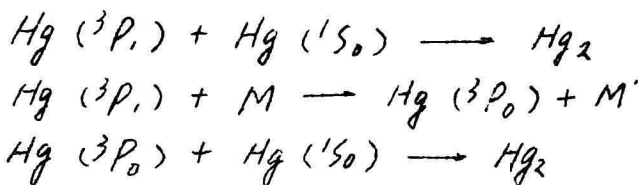
### 3. 汞的“萤光猝灭”

如前所述，激发态汞原子与无关质点（如  $O_2$ 、 $N_2$  和  $CO_2$  等）碰撞发生能量传递而使“萤光猝灭”。这对汞的检出极限有很大的影响。有人<sup>[12]</sup>用铂环汞原子化法测定了几种气体对  $2537\text{ \AA}$  射线的萤光猝灭数据，现列于表 1。

表 1 某些气体对汞原子萤光的影响

气 体	萤光率的相对强度
Ar	1.00
$N_2$	0.81
$CO_2$	0.34
空 气	0.02
$O_2$	0.00
$N_2O$	0.00

有人认为汞的萤光猝灭机理如下：



式中：M、M' 分别为无关质点和高能态质点。

萤光猝灭的原因很多<sup>[28]</sup>，有碰撞猝灭，组成化合物的猝灭和转入三重线级的猝灭等。从表 1 数据可看出，特别是氧分子影响最大。有人<sup>[29]</sup>认为可能是由于三重线级的氧分子和单线激发的萤光物质相碰撞，形成了单线激发的氧分子和三重线级的萤光物质所引起，因为氧分子的基态是三重线级的。也有人<sup>[11]</sup>认为氧分子被  $2537\text{ \AA}$  射线照射形成  $O_3$ ， $O_3$  将汞氧化成为氯化汞。  
· 4 ·

而使荧光猝灭。当然  $O_3$  本身也会吸收  $2537 \text{ \AA}$  财线。总之，在离子萤光测汞法中，为了减少萤光猝灭，常在 Ar 或  $N_2$  气氛中进行。也曾有 [30] 在检测大气中的汞时，发现萤光仪灵敏弱，认为是大气中的  $CO$  和  $NO$  所引起的萤光猝灭。因而认为用离子萤光法直接测定大气中的汞是不合适的。在用银汞齐四富集汞的准离子萤光法中也观察到在氩气氛围比空气气氛中的萤光仪灵敏度一百倍 [7]。有人 [37] 还研究了汞在空气和氧气中的萤光猝灭曲线，并根据气体动力学碰撞理论，从汞的萤光猝灭曲线计算了汞原子激发态的寿命为  $11.9 \times 10^{-8}$  秒。与一般数据吻合。

## 二 离子萤光测汞法的仪器装置

离子萤光测汞法的仪器装置一般包括激发光源、聚光系统、离子化器、单色器（滤光片）和检测器等部分，其示意图如图1所示。

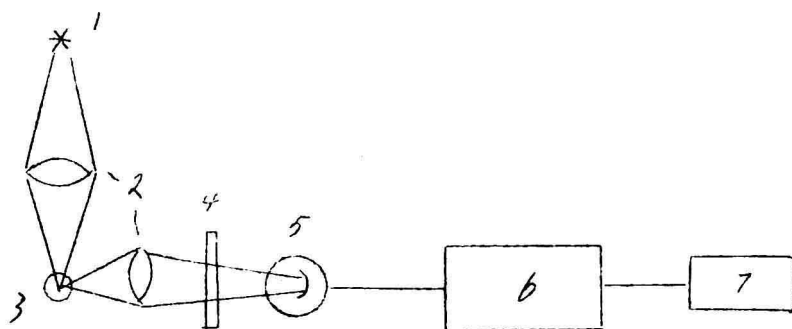


图1 离子萤光测汞仪示意图

- ①光元
- ②聚光镜
- ③离子化器
- ④单色仪或滤光片
- ⑤光电倍增管
- ⑥放大器
- ⑦读数电表或电子电位差计

按离子化方法来分，可分为火焰型和无火焰型；按色散方法来分可分为色散型和非色散型。为了便于讨论，将各部分装置分述于后：

### 1. 光源

原子蒸光测汞法要求光流强度高而稳定，一般的汞空心阴极灯不适用，因蒸光法强度很弱。常用的有笔型汞灯 (Mercury pen lamp) [6, 15, 17]，低压汞灯 [14, 16, 18, 20]，汞无极放电灯 [4, 13] 和汞蒸气放电灯 [3, 5, 8]。这几种光流中以前两种最好，因为主辐射线为  $2537\text{ \AA}$ ，同时，灯温低，自吸少，稳定性较好，供电方式简单。

有人 [8] 采用的汞灯规格为：内径 18.4 毫米，长 0.2 米的石英管，内充氩气压力为 2.7 壓磅，加入 100 毫克汞。用全波整流后未经平滑的脉动电流，经过 100 欧姆电阻供电，其电流为 0.15 ~ 0.30 安培。

低压汞灯可由一漏磁变压器供电 [20]，空载电压为 1500 伏，工作电压为 260 伏，10 毫安。

有人 [1] 认为用电极间的电流激励灯管不好，因为用低频电流激励会引起等离子体振荡，会降低仪器灵敏度。建议将两个电极接地，用一金属丝绕在灯管外作为另一电极，以一高频电场来激励灯管 (30 北周)。在求频率稳定，光强也就稳定了。这样不致产生消电离作用，基本上是连续电离化作用，加上低频直光即可将光流变为低频激光光，萤光信号即可用一般交流放大器放大。在我们的工作中，用示波器观察低频交流供电的低压汞灯产生的萤光的光电流波形，并不是完美的正弦波，而在正弦波上叠加有高频波，这可能是消电离作用所致。也可能是产生噪声的原因之一。

笔型汞灯比空心阴极灯的辐射强度高  $10^3$  倍 [15]，比蒸气灯的萤光强度也高 [6]。原子萤光测汞法中，激发光源的强度和稳定性是减小噪声，降低检测极限的关键之一。

## 2. 萤光系统

为了将激发光聚焦于原子蒸气和将萤光聚焦于单色仪狭缝或枪出口（非色散型）上，常采用石英凸透镜 ( $F \sim 60$  毫米) 或表凸镀铝的大孔径凹透镜 ( $F \sim 100$  毫米) [13, 20, 31]。根据需要可采

用各种散光系统。有人<sup>[17]</sup>还利用非消色差的透镜（萤光的聚焦）来消除其它光线的影响，也可不用任何聚焦透镜<sup>[18]</sup>，据称效果良好。这样可以缩短光程，减小仪器体积。

### 3. 永亮子化皿

亮子萤光测汞法，必须将试样中的汞转化成永亮子蒸气。通常有三种方法：

i) 火焰法 最初，采用火焰亮子化方法测汞<sup>[3]</sup>。因火焰中的萤光猝灭剂主要是 CO 和 N<sub>2</sub>，故也有用非碳氢火焰，以减小萤光猝灭；如氧—氢火焰<sup>[3~6]</sup>，空气—氢火焰<sup>[7]</sup>等，也有用空气—煤气火焰<sup>[8]</sup>和空气—乙炔火焰<sup>[9]</sup>的。各种火焰亮子萤光计测汞法情况列于表 3。

表 3 火焰亮子萤光测汞法的情况

火焰	空气—煤气	氢—氢			空气—氢气	空气—乙炔
光源	汞放电管	录蒸气灯	录无极灯	笔型录灯	录无极灯	录蒸气灯
色散方式	非色散	色散	色散	色散	色散	非色散
检出极限 (PPM)	0.00025	0.3, 0.1	0.1	0.002*	0.08	0.07
参考资料	[8]	[3], [6]	[4]	[6]	[7]	[9]

\* 用双硫腙—氯仿或 IBMK 萃取，有机相滴漏法。

由表 3 看出：火焰法测汞采采用低温火焰和非色散系统的灵敏度较高，这可能是汞的易挥发性和单色皿长光程的原因。

### ii) 由加热的石墨丝亮子化皿

用电加热的石墨丝亮子化皿<sup>[11, 37]</sup>，铂环亮子化皿<sup>[12]</sup>和铂管炉亮子化皿<sup>[3]</sup>已用于亮子萤光测汞法。它们的情况列于表 3。

电加热亮子化皿均在氩气氛中进行。目的在于减少萤光猝灭和材料被氧化。石墨丝和铂环取样很少（约数微升），适用于微量

分析。铂管炉法具有连续喷雾的特点，进样快速，但这些方法均需用单色仪分离离子化出的辐射光，故难以实现非色散装置。

表3 电加热无火焰离子化法测汞法情况

离子化皿	石墨丝	铂环	铂管炉
光源	汞蒸气放电灯	汞蒸气放电灯	笔型汞灯
气氛	氢	氢	氢
加样方式	微量注射器	微量注射器和溶液法	连续喷雾
色散方式	色散	色散	色散
检出极限(克)	$5 \times 10^{-11}$	$10^{-8}$	0.008*

\*单位  $\mu\text{g}/\text{ml}$

### III) 还原气化法——冷离子化法测汞法

汞在常温下可以气化，空气中的汞可直接进行测定，也可经溶液吸收或金、银汞齐皿富集后再气化。固体试样可以加热分解或用一般溶解法处理成溶液进行分析。无论气体试样或固体试样处理成溶液后均可用还原气化法作离子化法测定。所以通常称这些不用火焰和电加热离子化皿的方法为“冷离子化法”。这些方法的情况列于表4。

表4 各种冷离子化法测汞法的情况

方法	1	2	3	4	5
结构	循环通气, 荧光池	银汞齐皿, 荧光池	敞口蒸气皿	敞口蒸气皿	敞口蒸气皿
载气	空气	氢	氢	氢	空气
流速(升/分)	4.0	1.5	1.4	0.6	注射器进样
光源	笔型汞灯	笔型汞灯	4W低压汞灯	4W低压汞灯	低压汞灯
检测皿	色散, 日盲管	色散, 日盲管	色散	非色散, 日盲管	非色散, 滤光片
检出极限	$3 \mu\text{g}/50\text{ml}$	$0.6 \mu\text{g}/50\text{ml}$	$2 \mu\text{g}/20\text{ml}$	$0.15 \mu\text{g}/5\text{ml}$	$0.2 \mu\text{g}/5\text{ml}$
参考资料	[15]	[17]	[16]	[18]	[20]

方法1中利用一气泵循环气化，并没有荧光池，池体高4.5公分，宽2公分，呈90度角有两个石英窗。我们曾将这种荧光池用于非色散装置，由于荧光池体对激发光沉积射严重，因而导致检测系统空白值很大，甚至无法进行荧光测量。方法2用银汞齐富集后，降低了检出极限，并用管式炉分解固体试样。管式炉用长450毫米、直径13毫米的石英管做成，在管中心200毫米处加热。银汞齐田用长180毫米、直径9毫米石英管，管外绕5安培长电热丝（3欧姆/米），用调压变压器调节供应电压（约为70伏）。气化时，加热35秒。一次测定约需9分钟。方法3、4、5中不用荧光池，采用敞口的汞蒸气室，开口处为 $15 \times 6$ 毫米喇叭形。喇叭口扁平且与激发光光轴和检测光光轴均呈45度角放置。这样，免除了荧光池对激发光沉积射，因激发光竖射在开口的上方。这样，用于非色散系统中较为有利。同时，开口处呈喇叭状，可使汞蒸气流速突然降低，增加了荧光强度。如采用注射田进样，可不用鼓气系统，使设备简化。如果注射田中的空气用氩或氮代替，有可能降低检出极限。这种方法接上汞齐富集田，它可具备两种方法的优点，检出极限有可能更低。

#### 4. 检测系统

汞的荧光波长为 $2537\text{\AA}$ ，可用单色田（光栅或棱镜）或沪光片分离后，用一般的对紫外光灵敏的光电倍增管检测。光电流经放大后用表头读数或电子电位差计记录荧光峰。但最好采用日盲光电倍增管（对 $300\text{\AA}$ 以上光线不灵敏），因此，近年来，原子荧光测汞仪中多采用还未气化非色散装置。

几种类型的装置示意图如图2~5所示。

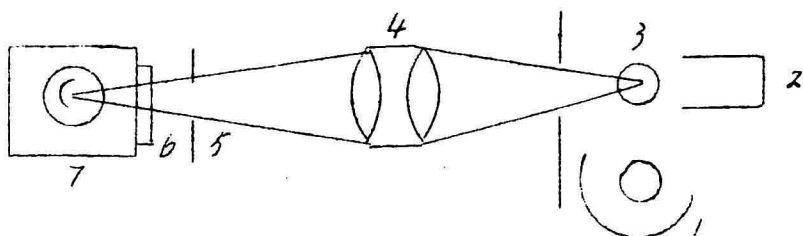


图2 火焰非色散型原子荧光装置示意图<sup>[8]</sup>

- ①光源：汞放电管
- ②光陷阱（直径0.3吋，长0.4吋）
- ③火焰（空气-氘气）空气5升/分，氘气1.61升/分，溶液提升量3.1毫升/分。
- ④聚光透镜（Φ80毫米，F=80毫米）
- ⑤光栏
- ⑥滤光片
- ⑦光电倍增管（1P28或日盲光电管），用交流放大器，同步检波（100周），用电子电位差计记录。

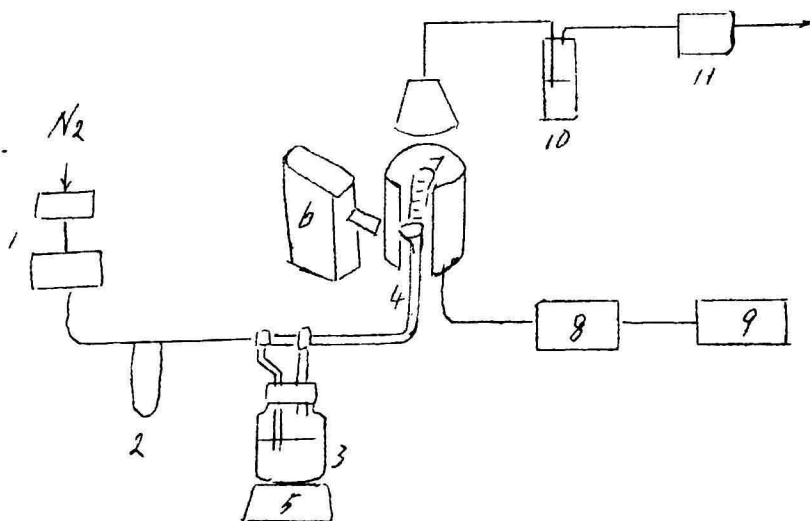


图3 原子化法非色散原子荧光测汞装置示意图<sup>[8]</sup>

- ①载气调节器
- ②流量计
- ③还原反应瓶
- ④原子蒸气咀
- ⑤电磁搅拌器
- ⑥4W低压汞灯
- ⑦日盲光电倍增管(R166)
- ⑧放大器(QR-50型分光光度计放大器)
- ⑨记录仪(日立056型记录仪)
- ⑩汞吸收液(硫酸性KMnO<sub>4</sub>)
- ⑪泵

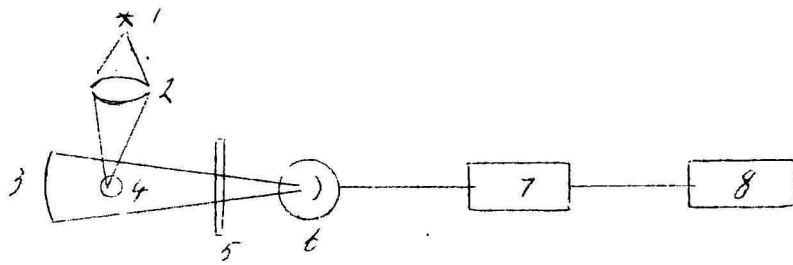


图4 注射进样非色散原子荧光测系统示意图<sup>[10]</sup>

- ①光流(低压汞灯)
- ②透镜( $\phi 25$ 毫米,  $F=50$ 毫米)
- ③凹凸镜(镀铝,  $F=60$ 毫米,  $\phi=70$ 毫米)
- ④原子蒸气源
- ⑤滤光片
- ⑥光束倍增管
- ⑦放大器
- ⑧记录仪

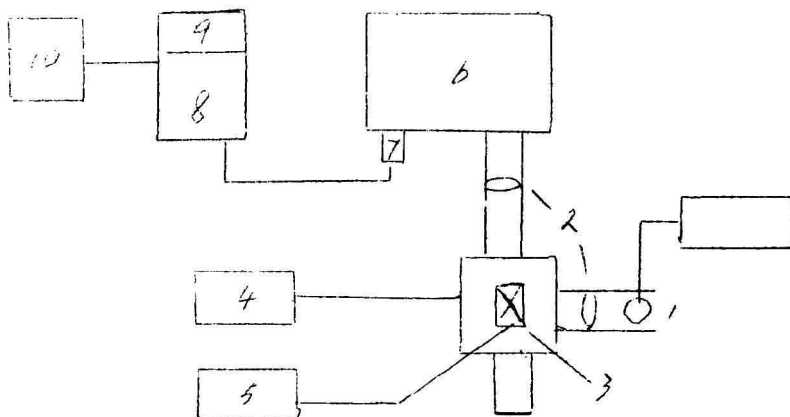


图5 钨管炉色散型原子荧光测系统示意图<sup>[11]</sup>

- ①光流(高压汞灯)
- ②透镜( $\phi=2$ 寸  $F=70$ 毫米)
- ③钨管炉
- ④铂丝炉内流
- ⑤雾化系统(氢或氮)
- ⑥单色仪(光栅)
- ⑦光束倍增管(P28)
- ⑧光束倍增管电流
- ⑨毫表
- ⑩记录仪

### 三 应用

离子荧光法已有不少综述<sup>[10, 31~32]</sup>。火焰离子荧光  
承·11·

测汞法也有总结<sup>[34]</sup>。

近年，原子荧光法用于测汞方面的工作日益增多，尤其在环境试样中汞的分析方法显示出独特的优越性。现将实际应用情况总结如下：

用铅管炉原子荧光装置测定了生物流体和喷气发动机润滑油中的金属元素<sup>[13]</sup>。

有人<sup>[17]</sup>用无火焰原子荧光装置，以还原氯化法（液体试样）和管式炉加热分解试样（固体试样）测定了岩石标样（0.18, 0.015 ppm），水（4.2 毫克/升），面粉（4.95 ppm）和沉渣（0.28 ppm）等试样中的汞。并与中子活化法和原子吸收法比较，结果一致。分析固体试样一次需 9 分钟。

也有用萃取原子荧光法测汞的工作<sup>[6]</sup>。测定了尿和有机物中的汞，试样勿须前处理。取 100 毫升含汞试样，用浓盐酸或 0.5 M 硫酸和 0.5 M 醋酸等体积混合酸液调节 pH ~ 1，加入 2 毫升 0.1 M 双硫腙的氯仿或 MIBK 溶液，摇动 5 ~ 10 分钟，静置分层后，将有机相喷雾，在氢—氧火焰中原子化，测定荧光强度。

也曾有人<sup>[55]</sup>用还原氯化法，经银汞齐口富集后用空气，河水和土壤中的汞的测定，可检测 0.5 毫微克的汞，变动系数为 15%。

用非色散型原子荧光装置，以还原氯化法测定河水中的汞也有报导<sup>[18]</sup>。用加入法测定回收率，结果良好。

也有人<sup>[18]</sup>将还原氯化法用于空气中汞的测定，可检出 0.003 毫克/立方米。

我们<sup>[20]</sup>曾用冷原子荧光测汞法测定了河水和工厂排水中的汞，结果满意。也曾用该法测定了土壤、粮食、矿物岩石、鱼等试样中的汞<sup>[36]</sup>。该法我们用于地下水和地表水的普查和地质普查（矿均岩石）中做千个试样，与原子吸收法对照，结果颇为一致。该装置可连续工作，分析高汞试样亦未见到记忆效应。

## 结语

离子荧光测汞法是一个较新的分析方法，它有待于我们进一步完善和推广应用。它对微升试样中汞的检测是一个快速而简便的方法。与冷原子吸收法比较，它具有以下优点[6]：①灵敏度较高；②离子化系统和检测器的线性效应小；③没有有机溶剂影响；④不存在吸收光谱重叠现象；⑤工作曲线线性范围大；⑥仪器在工作时，检出器长期处于惰气密封。

目前，国内已有商品的离子荧光测汞仪，该仪器由西安无线电八厂生产，命名为YHG-77型溴离子荧光测定仪。可以预料，离子荧光测汞法必将广泛地用于环境监测和地质分析工作。

## 参 考 文 献

1. H. B. Jones, “汞污染的控制”全国灯泡工业科技情报站译。  
轻工业出版社
2. 香蕉主编, “汞中毒的防治”, 人民卫生出版社, 1973.
3. J. D. Winefordner, R. A. Staab, Anal. Chem., 36, 151, 165 (1964)
4. Ibid, 36, 1367 (1964)
5. J. M. Margoshes, J. D. Winefordner, Ibid, 37, 1049 (1956)
6. J. J. Vickers, S. P. Merrick, Talanta 15, 837 (1968)
7. R. F. Brown, R. M. Dagnall, T. S. West, Talanta, 16, 75 (1969).
8. P. D. Warr, Talanta, 17, 543 (1970).
9. P. L. Larkins, Spectrochim, Acta, 26B, 477 (1971).
10. M. Massman, Spectrochim, Acta, 23B, 215 (1968).
11. D. Alger, R. G. Anderson, J. S. Maines, T. S. West, Anal. Chim. Acta, 57, 271 (1971).
12. M. P. Bratzel, R. M. Dagnall, J. D. Winefordner, Anal. Chim. Acta, 48, 179 (1969).
13. M. S. Black, T. H. Glenn, M. P. Bratzel, J. D. Winefordner, Anal. Chem. 43, 1769 (1971).
14. 下村滋, 植木政一郎, 日本分析化学会第33回分析化学讨论会讲话稿。

15. V. J. Museat, T. J. Vickers, *Anal. Chim. Acta*, 57, 23 (1971).
16. K. C. Thompson, G. D. Reynolds, *Analyst*, 96, 771 (1971).
17. V. I. Museat, T. J. Vickers, Anders Andren, *Anal. Chim.*, 44, 218 (1972).
18. 下村滋, 広瀬良子, *Anal. Letters*, 6, 613 (1973).
19. 下村滋, 林康久, 森田秀芳, 広瀬良子, 分析 (日), 12(1), 3 (1974).
20. 汤敏, 武荣生, 杜文虎, *分析化学*, 2, 94 (1976).
21. W. J. McCathy, M. L. Parsons, J. D. Winefordner, *Spectrochim. Acta*, 23B, 25 (1967).
22. A. C. G. Mitchell, M. W. Zemansky, *Resonance Radiation and Excited Atoms*, Cambridge (1961).
23. J. D. Winefordner, M. L. Parsons, J. M. Mansfield, W. J. McCathy, *Spectrochim. Acta*, 23B, 37 (1967).
24. T. S. West, M. S. Cresser, *Appl. Spectrosc. Rev.*, 7(1), 79 (1973).
25. 杜文虎, 西北大学公报 (自然科学版), 1, 110 (1975).
26. P. J. Slevin, K. W. Busch, T. J. Vickers, *Anal. Letters*, 7(5), 371 (1974).
27. 梅崎芳義, 岩本和子, *分析化学 (日)*, 20, 173 (1971).
28. 陈国珍主编, “荧光分析法”, 科学出版社, (1975)
29. 下村滋, 林康久, 森田秀芳, 鎌尾則, *Anal. Letters*, 6, 769 (1973).
30. J. W. Robinson, Y. E. Araktingi, *Anal. Chim. Acta*, 63, 29 (1973).
31. J. D. Winefordner, R. C. Elser, *Anal. Chim.*, 43(4), 24A (1971).
32. A. Walsh, *Pure and Appl. Chem.*, 23 (1970).
33. G. F. Kirbright, *Analyst*, 96, 1146, 609 (1971).
34. A. M. Ure, *Anal. Chim. Acta*, 76, 1 (1975).
35. Fred L. Corecorun, *Am. Lab.*, 6(3), 69, 72 (1974).
36. 杜文虎等, *分析化学*, 4, 250 (1977).
37. А. М. Пилинус, Ю. И. Беляев, А. В. Каракин, Т. А. Ковешникова, *J. A. X.*, 26(7), 1355 (1971).
38. K. C. Thompson, *Lab. Pract.*, 21, 645 (1972).
39. J. E. Hawley, I. D. Ingle, *Anal. Chim. Acta*, 77, 71 (1975).

